



管道和油罐的 阴极防护

苏联 B·A·普里都拉著

石油工业出版社

管道和油罐的 阴极防护

苏联 B·A·普里都拉著

李金洋 王成义譯 李奉孝校訂

石油工业出版社

内 容 提 要

本書敘述了防止地下設備腐蝕的新方法——陰極防護法。

書中介紹了陰極防護的勘查工作和設計方面的問題，講述了陰極防護的应用條件。本書也着重地講述了陰極防護站功率計算的詳細步驟，根據這些計算步驟就可以直接進行實際計算。

本書可供設計和建造陰極防護的工程技術員參考，也可作高等學校師生的參考書。

В. А. ПРИТУЛА

КАТОДНАЯ ЗАЩИТА

ТРУБОПРОВОДОВ И РЕЗЕРВУАРОВ

根据苏联国立石油燃料科技書籍出版社(ГОСТОПТЕХИЗДАТ)

1950年列寧格勒版翻譯

统一書号：15037·359

管道和油罐的陰極防護

李 金 洋 王 成 义譯

李 奉 孝校訂

*

石油工业出版社出版(地址：北京六道口石油工業部內)

北京市書刊出版業營業許可證出字第089號

北京市印刷一厂排印 新华书店发行

*

860×1168公分开本 * 印張5 1/2 * 123千字 * 印1—900册

1958年3月北京第1版第1次印刷

定价(10)1.30元

目 录

緒論

第一章	陰極防护的基本原理	4
第二章	勘查工作	12
第三章	設計陰極防护的原始資料	28
第四章	管段的陰極防护計算	43
第五章	陽極接地	59
第六章	陰極防护的电源	78
第七章	陰極防护的設計	101
第八章	用自动陽極來防护	130
第九章	油庫的陰極防护	141
第十章	陰極防护站的建筑	149
第十一章	陰極防护的管理	150
第十二章	陰極防护的經濟	153
参考文献		159

緒論

在本書中將研究管線和儲罐的地下腐蝕及防腐的方法。這種腐蝕是屬於危害性最大的一種腐蝕。它不僅能引起金屬的損耗，而且也能引起貴重石油產品或氣體的大量損失。由於這些石油產品都是可燃性的，因此當這些產品從被腐蝕穿了的地方漏出時，常有發生火災或爆炸的危險。

目前，石油和氣體的地下管線網的總長度已超過 500 000 公里[14]。假如我們假設這些管線的平均直徑等於 10''，那麼便可算出土壤中埋入了約為 2000 萬噸金屬。也有不少金屬以水管形式埋於地下。如果再算上其他的地下金屬設備（儲罐、電線、支柱等），那麼受到腐蝕的金屬總量就大大地超過 4000 萬噸。如果每年要腐蝕掉全部地下設備的 3%，那麼每年金屬的損失量便要超過 100 萬噸了。

在發生地下腐蝕時，凹眼的生成是具有很大危害的，因為它能使管壁產生透孔。通常這種透孔在管線敷設後的第三年即出現。但是也有這樣的情形：厚度為 8 公厘的管線，在敷設後僅過了一年就產生最初的透孔。如果不採取應有的措施，那麼透孔的數目便要不斷地增加。正如統計研究所指出的，透孔數目可以粗略地用下式來表示：

$$R = eT^f, \quad (1)$$

式中 R ——透孔的總數；

T ——由出現第一個透孔開始，管線的使用年數；

e ——由出現透孔時起，一年內所產生的透孔數；

f ——曲線指數，一般在 1.5—3 之間（圖 1）。

今舉出幾個例子。

某一直徑為 10'' 壁厚為 9.2 公厘的大型油管，在敷設後三年便出現了第一個透孔；再過三年透孔已達 200 左右。在敷管時管

面上已塗了鉛丹，根據管綫的情況需要採取一些緊急補救辦法，來防止在某些管段上發生腐蝕，結果在其上塗了一層瀝青防腐層。然而後來在塗防腐層和在未塗防腐層的管段上仍有透孔出現，並且經過一段時間後，在塗有新防腐層的管段上也出現了透孔。

另一種情況：敷設時塗有瀝青防腐層的水管綫，使用了八年以後，由於腐蝕而產生了400多個透孔。透孔嚴重地破壞了管綫的工作，以致於必需敷設新的管綫。

另一個直徑為20''的水管，雖然其壁厚為16公厘，但使用了15年，平均每年產生透孔80個左右。因此要求採取緊急措施來防止其進一步的損壞。

有一個巨大的城市水道的水管，其管壁厚度為12公厘，當使用到第八年時，即出現深達8公厘的凹眼。

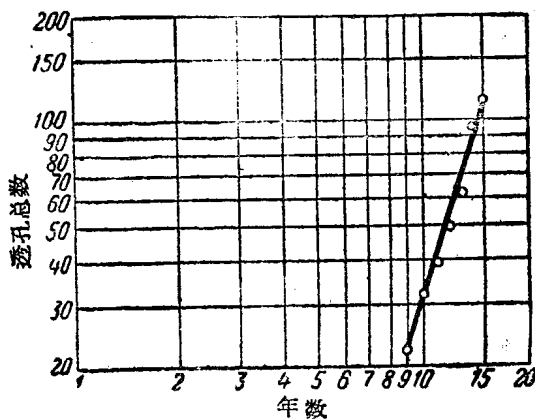


圖 1 透孔的曲線(相當於 $R = 0.0297T^{0.03}$)

在不久以前，防腐的唯一方法就是在地下設備的表面上塗防腐層。近來陰極防腐法已得到了廣泛的使用。此法可以加強新管綫和舊管綫上的防腐層之防腐作用，並且在某些情況下可以代替防腐層。陰極防腐在實際上應用的可能性早在1824年便有了記載。不過對於地下管綫來說，此法僅在1923—1928年才開始應

用。在 1939 年有 542 个阴极防护站。至 1940 年增加到 750，迄今已超过 1000 个了。

由于阴极防护法之效率高、简单和价廉，因而迅速地获得了广泛的推广。正确地应用阴极防护，不仅能够防止腐蚀，并且也能使得管线上已经开始了的破坏过程停止。

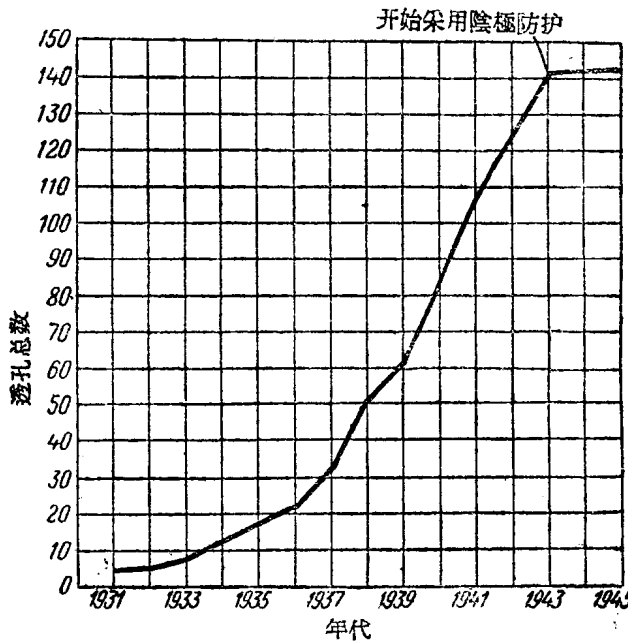


圖 2 采用阴极防护以前和以后，在鋼制城市用气管上透孔数目的增加情况

今將阴极防护法对城市用气管线的防护效果示于圖 2。

談到阴极防护的效果时，必須指出，当正确采用阴极防护时，没有一次是对管线的防护無益的。价廉、简单和使用上的方便，使得这种方法在許多情况下已成为地下防腐的不可缺少的方法。

第一章 陰極防护的基本原理

腐蝕概念的定义 金屬由于外界介質的作用而在其表面發生的破坏过程，称为金屬的腐蝕。

由于介質的性質的不同，腐蝕可分为下列三种。

1) 在非电解質中的腐蝕：

(a) 于高温下，金屬在气体或蒸汽中的腐蝕(气体腐蝕)；

(b) 在液态非电解質(石油产品、酒精等)中的腐蝕。

2) 在电解質中的腐蝕：

(a) 在空气中所發生的大气腐蝕(因空气中含有各种各样的气体和蒸汽)；

(b) 在各种水溶液中發生的水腐蝕，包括海水和河水；

(c) 在化学試剂(酸、鹼、鹽等)的高濃度溶液中發生的化学腐蝕；

(d) 在各种不同性質和組成的土壤中發生的土壤腐蝕。

3) 杂散电流引起的腐蝕：

土壤腐蝕和杂散电流引起的腐蝕总称为“地下腐蝕”。

本書就是要研究金屬管綫和油罐的地下腐蝕之电防护法。

腐蝕破坏的形式 因腐蝕而引起的金屬破坏，可分为下列各种形式(圖 3)。

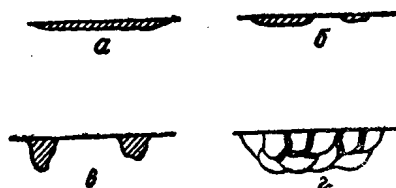


圖 3 腐蝕的各种形式

均匀腐蝕或全面腐蝕

就是金屬的整个表面或者几乎是整个表面的腐蝕过程。

在大多数情况下，其腐蝕之深度較淺(見圖 3,a)。

局部腐蝕 所謂局部腐

蝕就是金屬被腐蝕时在其表面上产生一个个的小班点(見圖 3,b)，其腐蝕深度一般也是不深

的。

点腐蚀或凹眼腐蚀就是破坏面仅仅集中在較小的面积（通常为几公分）上。虽然腐蚀面积不大，但是在發生这种腐蚀时，自表面向构件深处腐蚀之速度是最大的。在地下金属设备上常常發生此种腐蚀，同时对于輸送或儲存石油、汽油、水、气体等之金属管綫或油罐來說，也是一种危害性特別大的腐蚀。

选择性腐蚀就是合金中某一組成首先遭到破坏的腐蚀（圖3,8)。

晶格間的腐蚀就是在金属表面上沿金属各晶体的稜面所發生的腐蚀作用(見圖3,1)。

腐蚀的测量 均匀和局部腐蚀是以每小时、每天或每年中每1公分²构件表面上所损失的金属的克数(克/公分²)来衡量。因此对于局部腐蚀來說，通常仅須計算出已被腐蚀的面积即可。

腐蚀时若有凹眼生成，则其腐蚀强度可由凹眼的深度来决定，以公厘/年表之。

發生凹眼腐蚀时有利的因素，是随着时间的进展，凹眼变深的速度会漸漸減慢。在圖4上示出了在各种土壤中产生凹眼之速度曲綫。由圖上可看出，产生凹眼之速度曲綫的形狀为一逐渐平行于x軸的抛物綫，即凹眼变深的速度随时间的进展而減慢。

土壤腐蚀的本質 土壤腐蚀过程是由于土壤中的电解質同埋在地下的金属互相作用而發生的。

根据涅尔斯特原理，任何一种金属浸在电解質溶液中时，金属晶格中的陽离子便有跑入溶液中去的趋势。这种趋势被称为溶解压 P 。金属的溶解压的作用方向和溶液的渗透压 P' 正好相反。

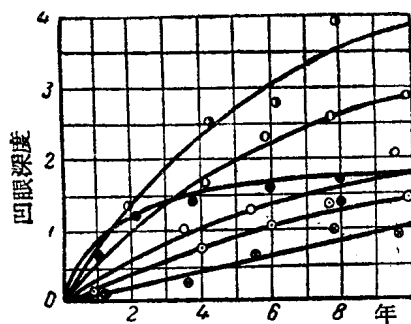


圖 4 各种土壤中凹眼生成速度的曲綫

因此可产生三种这两个力互相作用的情况。

当 P 大于 p , 阳离子便由金属跑入溶液中, 但停留在金属表面的附近, 这是由于金属上的多余阴离子之静电引力之作用结果。因而金属表面由于有剩余的负荷带有负电, 而靠近金属的部分溶液则由于有阳离子跑入而带有正电(图 5 , a)。

如果 P 小于 p , 则溶液中的阳离子便会跑入金属的表面, 因而使金属表面带正电。为了保持电平衡, 溶液中之阴离子必须集聚到金属的表面上来(图 5 , b)。

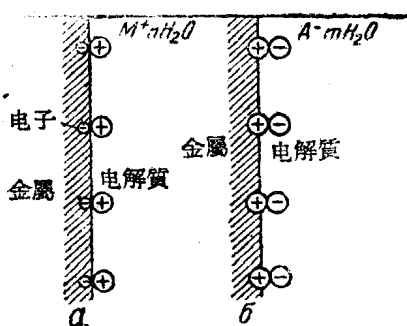


圖 5 在金属表面附近双电层發生的情况

a—金属离子由金属表面跑入溶液;
b—金属离子从溶液跑到金属表面。

最后, 在理论上还可能有这样的情况, 即 P 等于 p ; 此时离子将不转移, 金属表面上不产生电荷。两个相反电荷的电层间有显著的互相作用, 因此若不受外界因素的破坏, 那么所形成的电系统可以保持稳定。这时金属不发生任何明显的腐蚀。如果双电层遭到破坏, 例如, 设

法减少进入溶液中的自由离子, 那么金属将继续腐蚀, 因为金属表面上游离的电子沿构件开始向带过剩阳电荷的表面移动。这样在金属表面上和电解质中便发生电流循环, 即所谓电池或局部电池。局部电池如图 6 所示。金属表面上在循环电路中双电层电位的改变是突变的, 其特性如图 7 所示。

电流自其上移向电解质中去的那部分金属表面称为阳极, 电流由电解质移向金属上的那部分金属表面称为阴极。实际上金属只在阳极区遭到危险破坏, 在阴极区内只发生腐蚀产物的积聚, 但不使金属破坏。放在电解质中的金属表面被大量的此种局部电池遮盖, 同时由于过程进行的结果, 其大小和位置都不固定。

發生电位差的原因 同一金属的个别部分间的电位差, 是由

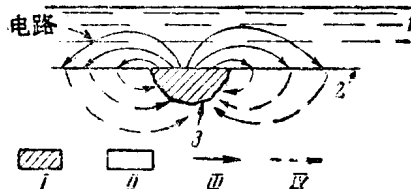


圖 6 局部电池的簡圖
1—电解質；2—金属表面；3—金属中的外来物；I—陽極；II—陰極；III—电解質中的电流运动；IV—金属中电流的运动。

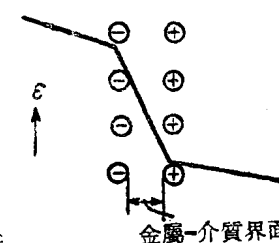


圖 7 金属表面处电位的突变

于各种不同的因素的影响而产生的。如电位差可能在金属上有机械应力和無机械应力的部分間發生。

由于电解質的組成和濃度的不同，也能造成电位差。鐵渣和腐蝕产物（鐵锈）也能和純金属間形成电位差。具有不同充气度（即被空气飽和程度）的土壤段在金属表面上能造成相当大的电位差。例如，泥質和沙質土壤能使空气以不同的量滲透至埋在其中的管綫表面上，这也就在不同管段間造成了局部电池。

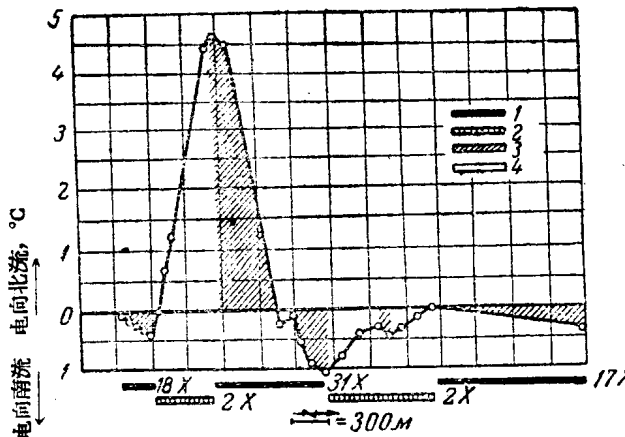


圖 8 电流放电和破口区的关系
1—有大量破口的地段；2—几乎没有破口的地段；数字系指破口数量；
3—管端电流放电；4—管端电流收集。

圖 8 可作为一个例子來說明，沿管綫上收集电流的大的陰極段和放电的大的陽極段的分佈，便会引起放电陽極段的金属腐

蝕。在圖下面所引出的数字是說明各段上的腐蝕量。

極化和去極化作用 很多研究指出，局部电池中的最初电位差几乎經常減低得很快。这是由于局部电池系統中电流流动时發生極化而引起的。这种現象在陽極表面和陰極表面的附近都会發生，前者称为陽極極化，后者称为陰極極化。

陽極極化是由于在陽極附近被溶金屬之濃度的增加而發生的，于是使陽極的电位向正的方向移动。

陰極極化是使陰極电位向負方向移动。陰極極化是由于从陽極來的电子的积聚和生成的氣排除得緩慢的結果而發生的。

为了維持腐蝕过程必須去極化，即極化作用的中和過程。去極化作用可按兩個基本方向發生：生成的氣或是被加入的氧所氧化，或呈气体狀从表面上分出。在不同的極化情况下，局部电池的陽極和陰極电位的变化列于圖 9，由圖可以看出，起主导作用的是陰極極化作用，这种極化能使局部电池的电位差發生最显著的改变。

陰極防护的基本原理 研究上述各种腐蝕過程的結果，發明了陰極防护法。这个方法的基本原理就是：利用直流电源使被防护設備的全部地下表面成为陰極，而此电路中的陽極則为特殊的接地。陰極防护电路的形式如圖 10 所示。直流电从电源的陽極 1，經過导綫 2，而进入陽極接地 3，再从接地 3 轉入土壤中。电流在土壤中經過絕緣層 4 的被破坏了的地方而流入被防护的管

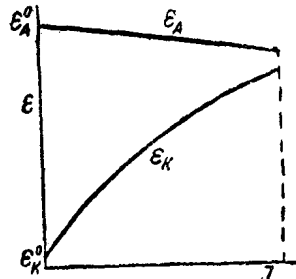


圖 9 因極化作用而使陽極和
陰極的电位發生的变化

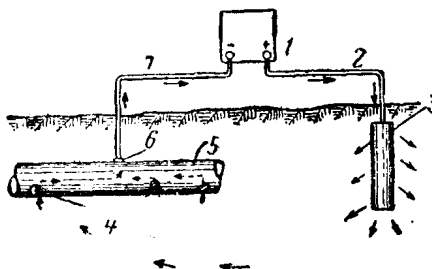


圖 10 陰極防护的原理圖

綫 5 中，然后沿管綫向匯流点 6 的方向流去，由此电流沿着導綫 7 而流回电源的陰極。这样，地下的金屬設備的整个表面便成了陰極，因而便能防止腐蝕。但是陽極接地却要受到强烈的破坏，而陽極接地通常是由廢棄的金屬(旧鋼管、旧鋼軌等)所制成。

陰極防护的电路如圖11所示。直流电源 1 在端鉗上給出防护一定管段时所必須的电压 E 伏特。电流从正極沿着电阻为 R_1 的导綫而流入陽極接地，陽極接地的电阻为 R_2 ，包括陽極-土壤的过渡电阻。随后經過电阻 R_3 ， R_3 是土壤和导管間的过渡电阻。在陽極接地和导管間的土壤的电阻是可以不予考虑的，因为它的量很小。导管的防腐絕緣層愈好，则过渡电阻 R_3 便愈大，因为防腐絕緣層通常是由介电質制成的。用 R_4 表示管子本身的电阻。

电阻 R_5 是从匯流点到电源的一段导綫的电阻。通常把连接电源正电極与接地的导綫的电阻 (R_1) 和连接电源负电極与匯流点的导綫的电阻 (R_5) 合併起来用 R_1 表示它們的总电阻，并把 R_4 包括在 R_3 里面。

整个系統的总电阻等于各分电阻之和，因为在电路中各电阻是串联的。

对陰極防护电路中各个电阻大小的大約估計如表 1 所示，在表 1 中指出，在兩個典型陰極防护裝置中，总电阻沿电路各段的分配情况。从表 1 中可以看出，接地的电阻为主要的电阻，等于該系統总电阻的 60—80%。联接导綫上的电阻为总电阻的 10—20%，而消耗在防护本身电阻仅为很小的一部分，在大多数情况下共为总电阻的 5—10%。

在电路中的电能损失与电阻成正比，电能主要是损失在接地上。

防护时的电能损失主要决定于防护層的状态，即防护層的导电性，其导电性为电阻的倒数：

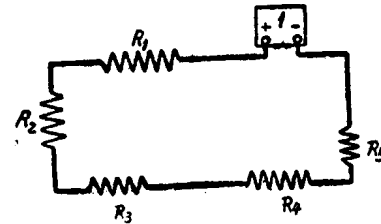


圖 11 陰極防护的电路圖

在陰極防护电路中能量消耗的大約分佈情況 表 1

能 量 消 耗 的 形 式	第 一 站		第 二 站	
	歐 姆	%	歐 姆	%
在連接上的電能損失	0.1	12.5	0.5	18.5
在接地中的電能損失	0.5	62.5	2.0	74.0
用在防护導管上的電能	0.2	25.0	0.2	7.5
共 計	0.8	100.0	2.7	100.0

$$g = \frac{1}{\rho} \cdot \quad (2)$$

導電性的主要單位為西門司 (сіменс) (*c*)；其較小的單位為毫西門司和微西門司，這三個單位間的關係如下：

$$\text{西門司} (c) = 1000 \text{ 毫西門司} (\mu c) = 1000 \, 000 \text{ 微西門司} (\mu c).$$

在不久以前西門司會被稱為“姆歐”並相應地採用毫姆歐和微姆歐兩單位。

防护層的導電性直接影響着防护管段的長度。當防护層處於很好的狀態時，共須 0.05 千瓦的功率便能防护長度為 15 公里的導管，而當防护層被嚴重破壞時，則需要十倍的功率，即 0.5 千瓦來防护長度總共為 1.7 公里的導管。

利用陰極防护也能够防护完全沒有防护層的導管；但是在這種情況下，各防护管段的長度當直徑為 8—10'', 等於 300—400 公尺。

防护層的導電性對於防护時所需的功率的影響見表 2，從表 2 中可看出，當防护管段的長度相同時，隨著防护層導電性的增加，其所需功率的增加有多么快。

除導管外，利用陰極防护還能够防护任何地下金屬設備，例如油罐、金屬支柱、電纜桿、電纜等。但是必須記住一點，陰極防护僅僅是對於由鋼製成的設備來說，是足夠可靠和經過驗定的。

陰極防护时防护層的导电性对电能消耗的影响 表 2

防护層的导电性 微歐公尺 ²	电流强度, 安培	电压, 伏特	功率, 瓦特
10	0.5	0.8	0.4
100	1.8	2.15	3.9
1 000	8.70	9.20	80.0
10 000	102.8	105.0	10 800.0

防护方法, 对于其它金属來說, 陰極防护的应用便要复杂得多。例如, 若想对于铅制地下设备进行可靠的防护是大为困难的, 其原因是铅的被腐蚀不仅只在阳极表面上发生, 而且也在阴极上发生, 显然, 这是由于在腐蚀的主要过程中阴极上所生成的碱性薄膜对于铅起腐蚀作用的缘故。

另一方面, 当利用阴极防护来防护地下电缆时, 则在很多情况下, 对于电话线和电报线会發生干扰。近来, 阴极防护已經最广泛地用来防护大型管路和市内导管及电缆, 并且較少的用来防护油罐的底部。用阴极防护来防护其它的钢制地下设备是比较少的。

必须指出一点, 就是阴极防护也可以用来防护安装在海中、河水中、湖中等的设备。

进行阴极防护必须解决下列诸問題:

- 1)要进行勘查以便从事設計;
- 2)設計阴极防护电站;
- 3)建造阴极防护电站;
- 4)沿导管的线路进行电測量以便調节电站;
- 5)阴极防护电站經營的組織。

虽然在个别的情况下, 不进行详细的勘查或設計也能够很有效地进行导管的防护, 但是这样来应用阴极防护不仅会降低防护的可靠性和經濟性, 而且有时甚至能使设备上的个别点加速腐

触。因此在防护时应该严格地遵守上述五个工作步骤。

第二章 勘查工作

探明需要进行阴极防护的管段

为了探明需要补充防护的管段，土壤腐蚀性的测定可根据对埋在地下很久的设备的检查（这样可得到确实的结果），或用其他的特殊方法来进行。

现在通常把土壤的腐蚀性分为五等，如表3所示。表3的数字表明在直径为12''、壁厚为8—10公厘没有任何防护绝缘的导管上，出现第一个透孔的大概期限。

土壤腐蚀性的等级 表3

腐蚀程度	预计透孔出现的期限
低 的	25年以上
正 常 的	10—25年
稍 高 的	5—10年
高 的	3—5年
很 高 的	1—3年

导管的检查 为了确定导管的技术状况，导管的检查应该按照一定条件来进行，以便作出足够正确的估价。这些条件如下。

1. 尽可能在较大的导管面积上进行检查。更希望检查整个导管。但这样需要进行大量挖掘工作，因此在大多数情况

下，只好满足于在个别地区内用挖坑道的方法来检查导管，坑道间距50—1000公尺。当导管的直径很大时，坑道的间距可增大到2000公尺。

2. 坑道之间距应该相同。

3. 除了要挖掘间距相等的主要坑道之外，在线路中最特殊的地点，可挖掘附加坑道，使导管露出来。这些特殊地点是：池沼地方、湿度变化厉害的地方、堆卸场、接近电气铁道的地段等。但希望附加坑道的总数不超过主要坑道数目的10%。

4. 在每个坑道中检查的管子面积应相等。检查1公尺²表面

积就足够了。检查应沿着管子的整个圆周进行。

5. 导管检查结果的记录和导管状况的评价应根据一定的规章进行，规章中包括金属和防护层损伤的等级[13]。

当不能检查正在使用着的导管时，或当设计新的导管时，土壤的腐蚀性可用特殊的方法测定。特殊的方法共计二十多种。目前采用的主要有三种方法：1)用四电极设备测定电阻率；2)用两电极设备测定电阻率；3)管-罐法。

第一个方法是借助四电极设备 *A M N B* (图12)[7] 测定土壤的所谓视电阻。所有四个电极都插入土壤中若干公分的深处，并都插在一条直线上。电流由直流电池 3 经过外电极 *A* 和 *B* 流入土壤，电流强度用记录仪器 1 测量。借助电位计和内电极 *M* 和 *N*，测定在土壤中形成的电场中二点之间的电位差。然后用专门的公式求得土壤的视电阻。

用两电极设备测定电阻率时[12]，可以直接测定沿导管线上导管埋藏深处的土壤的电阻。测量按图13进行。

两个尺寸如图13所示带有铁帽的柳木杆，经电压为3伏特的直流电源(干电池)1及毫安计2连接在一起。阴极杆的铁端具有比较大的表面，以减小极化的影响。

为了在选定的点上进行测量，用手工鑽孔工具鑽两个孔，一直鑽到导管埋藏的深处。在测量之前往两个孔中注 50 公分³蒸馏水或经过煮沸的水。然后把杆子插入孔中，一直插到使铁端与土壤完全接触。

用此法测定时，电阻的数值经常用欧姆·公分表示。用这个因次表示的数字比用欧姆·公尺表示的数字大 100 倍。即 1 欧姆·公尺 = 100 欧姆·公分。

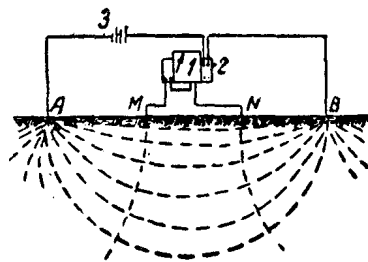


圖 12 用四電極設備法測定
土壤的視電阻的示意圖
1—毫安計；2—電位計；3—電池。